

INFORMATIONS CEPHEIDES . BULLETIN nº 12

19. SET. 1983

DZETA GEMINI

Con la base del GCVS (74), han sido realizadas las composiciones cuyas características se resumen en la tabla siguiente:

Obs.	nº med.	inst.	PERIODO OBSERVACION		SECUENCIAS PERSONALES				MAGNITUDES			FASES			MAX. MED.	
			COMIENZO	FIN	A	B	C	grado	MAX	MIN	A	MAX	MIN	M-m	2440000+	O-C(d)
BUZ	104	O.N.	16 NOV 77	10 MAY 78	3.02	3.76	4.43	0.123	3.65	4.20	0.55	0.98	0.49	0.49	3552.15	-0.22
FBG	67	O.N.	25 NOV 78	27 ABR 79	3.01	3.76	4.41	0.158	3.64	4.00	0.36	0.99	0.54	0.45	3917.70	-0.10
KCH	76		72	74	Carta AAVSO				3.65	4.05	0.40	0.96	0.47	0.49	1917.68	-0.41
KCH	47		78	79					3.63	4.30	0.67	0.96	0.45	0.51	3866.64	-0.40
KCH	36		78	79	Carta AAVSO				3.70	4.00	0.30	0.98	0.49	0.49	3948.05	-0.20
KCH	35		13 OCT 79	17 ABR 80					3.55	4.37	0.82	0.97	0.45	0.52	4272.77	-0.31
KCH	41		80	81					3.66	4.28	0.62	0.00	0.43	0.57	4638.51	0.00
POI	85	J.30	17 NOV 77	2 MAY 78	2.96	3.88	4.33	0.087	3.79	4.12	0.33	0.02	0.50	0.52	3542.42	+0.20
TRP	61	O.N.	24 DIC 74	29 ABR 76	2.99	3.79	4.39	0.096	3.60	4.20	0.60	0.95	0.50	0.45	2475.87	-0.51

Vemos en ella que el adelanto sobre la efeméride anunciado en la NC 158 aparece netamente confirmado con estas composiciones.

En algunas curvas se aprecia ligeramente una giba en el descenso de brillo, pero en ninguna se destaca de forma neta.

W GEMINI

Tomando como base los elementos dados por el GCVS (74), se han realizado las composiciones cuyas características se reseñan a continuación:

Obs.	nº med.	inst.	PERIODO OBSERVACION		SECUENCIAS PERSONALES					MAGNITUDES			FASES					MAX. MED.		
			COMIENZO	FIN	A	B	C	D	E	gr.	MAX	MIN	A	MXI	MNI	MXII	MNII	M-m	2440000+	O-C(d)
BEN	122	J.50	11 NOV 77	29 MAR 78	7.07	7.36	7.67			0.046	7.33	6.61	.28	.97	.65	.17	.06	.32	3538.77	-.23
BTL	72	J.50	14 OCT 79	12 ABR 81	6.74		7.24	7.69	8.03	0.076	7.17	7.62	.45	.01	.68	.25	.15	.33	4496.70	+0.09
BUZ	97	L.40	16 NOV 77	2 MAY 78	6.69		7.32	7.68		0.094	7.20	7.78	.58	.02	.65			.37	3547.08	+1.16
Ficela	102	T.76	11 DIC 79	25 MAR 80	7.05	7.39	7.70	7.97			7.29	7.70	.41	.95	.66	.17	.11	.29	4235.05	-0.40
GUR	144	J.80	10 DIC 78	29 MAR 79	7.10	7.33	7.67				7.21	7.65	.44	.02	.67	.22	.14	.35	3903.21	+1.16
MLO	126	J.60	7 DIC 80	19 MAR 82	6.69	7.06	7.37	7.57	7.87	0.066	7.08	7.75	.68	.98	.69	.21	.14	.29	4718.04	-0.17
NZY	61	J.50	18 ENE 78	2 MAY 78	7.1	7.3	7.7				7.22	7.59	.37	.00	.70			.30	3539.00	.00
PMP	36	J.50	5 FEB 78	16 ABR 78	6.72		7.25	7.72		0.074	7.10	7.69	.59	.01	.67	.24	.15	.34	3578.60	+0.03
POI	82	J.50	14 NOV 77	21 ABR 78	7.08	7.34	7.68	8.00		0.056	7.25	7.67	.42	.00	.71	.19	.14	.29	3546.92	.00
VIA	131	J.50	13 ENE 80	24 ABR 82	7.04	7.40	7.70	7.96		0.05	7.24	7.81	.57	.99	.65	.22	.14	.34	4615.25	-0.08

Se puede apreciar en la tabla la poca discrepancia de los valores obtenidos con la predicción del GCVS, con lo que la efeméride dada por éste resulta todavía válida.

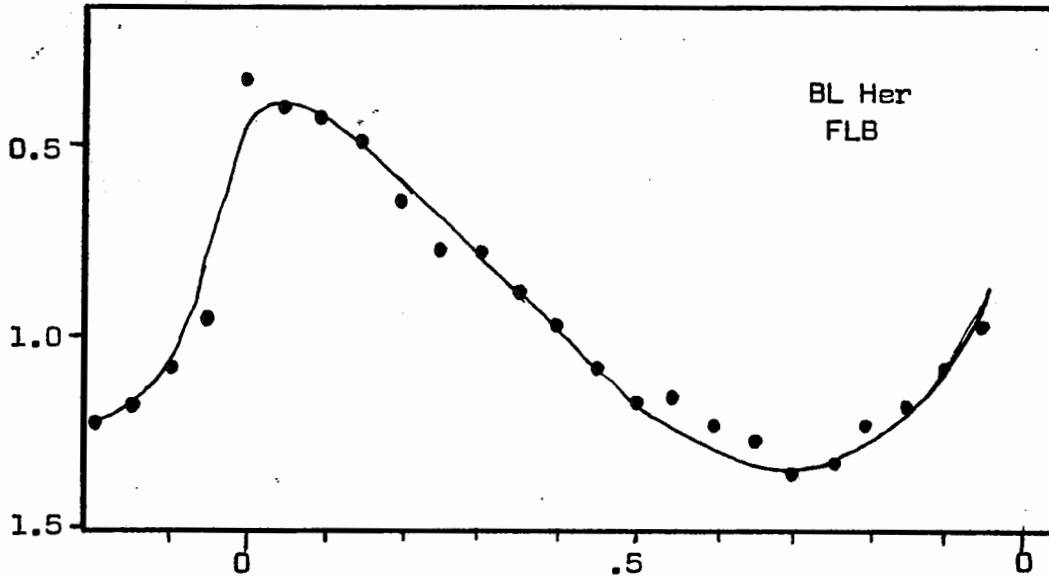
La giba en la rama descendente de la curva de luz se aprecia bastante bien en la mayoría de las composiciones.

BL HERCULIS

Composición por FLB de sus 43 estimaciones, efectuadas del 2 MAY al 10 AGO 78, con la ayuda de un T.157. La base de la composición es la efeméride dada por el GCVS (74): Max. 36398.398 + 1.30744917·E.

BL HERCULIS (Continuación)

Secuencia utilizada: A 0 , B 0.5 , C 1.0 , D 1.5 .
 Fase MAX : 0.05 ± 0.08 . Fase MIN : 0.70 . M-m : 0.35 .
 Máximo medio : JJ ..43680.96 (O-C: 0.07 ± 0.10 días).



V LACERTAE

Composición por FLB de sus 44 estimaciones, efectuadas del 4 JUL al 10 SEP 78, utilizando un T.157 . La base de la composición es la tomada del GCVS (74) que da : Max. $37128.836 + 4.983468 \cdot E$.

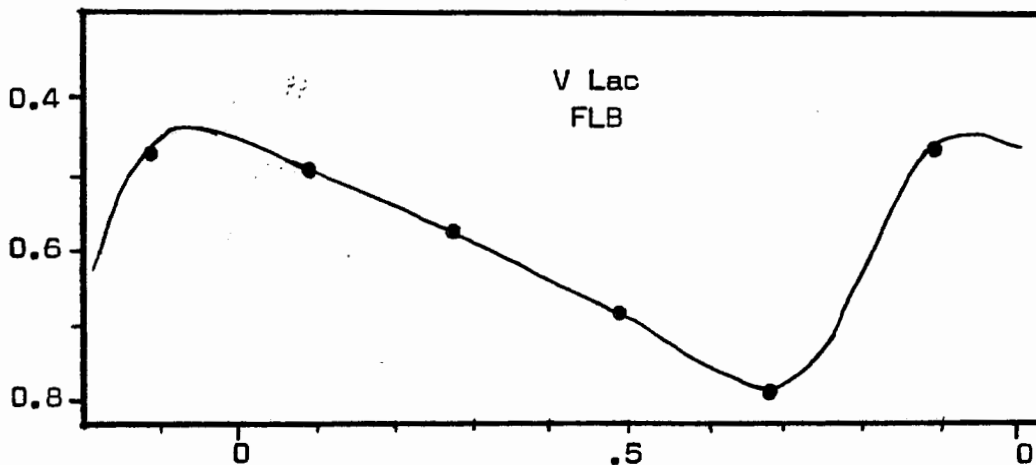
Secuencia utilizada : H 0 , K 1 .

La composición consta de 5 medias baricéntricas, dado que el período es aproximadamente 5 días.

Amplitud de 0.35(HK), lo que significa aproximadamente 0.2 magnitudes.

Fase MAX : 0.93 ± 0.10 . Fase MIN : 0.69 . M-m : 0.24 .

Máximo medio : JJ ..43731.6 (O-C: -0.4 ± 0.5 días) .



X LACERTAE

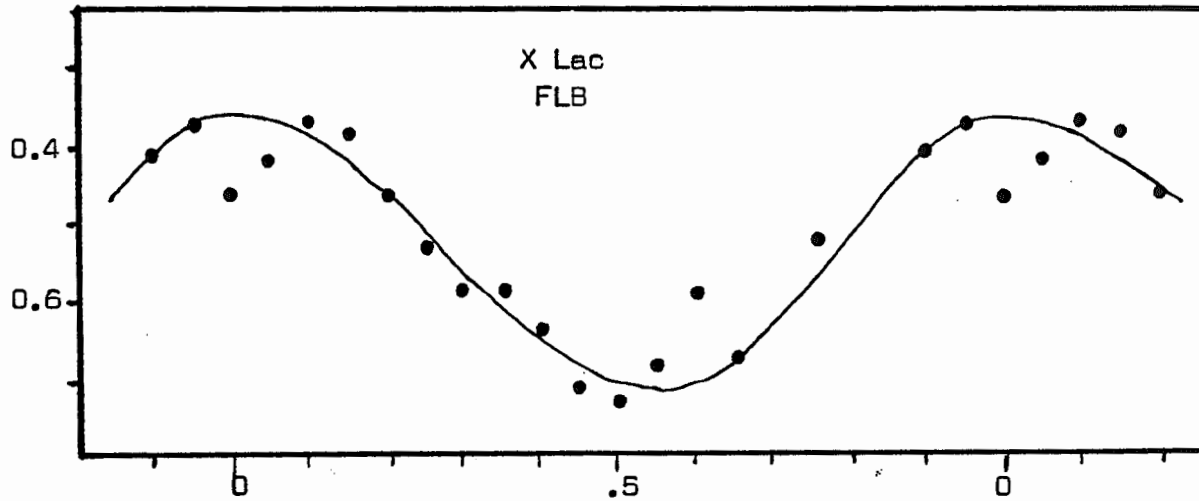
Composición por FLB de sus 45 estimaciones efectuadas del 7 OCT 77 al 10 SEP 78, con la ayuda de un T.157 . La base de la composición es la efeméride dada por el GCVS (74) : Max. 37129.648 + 5.44499·E

Secuencia utilizada : F 0 , G 1 .

Amplitud de 0.37(FG), lo que significa aproximadamente 0.22 magnitudes.

Fase MAX : 0.05 ± 0.10 . Fase MIN : 0.55 . M-m : 0.50 .

Máximo medio : JJ ..43729.25 (O-C: 0.27 ± 0.54 días).



Z LACERTAE

Tomando como base la efeméride dada por el GCVS (74) :

Max. 35152.859 + 10.88583 E

se han realizado las composiciones cuyas características se reseñan en la tabla siguiente:

Obs.	nº md.	inst.	PERIODO OBSERVACION		SECUENCIAS PERSONALES					MAGNITUDES			FASES			MAX.MED.	
			COMIENZO	FIN	A	B	C	D	gr.	MAX	MIN	A	MAX	MIN	M-m	2440000±	D-C(d)
FLB	50	T.157	7 OCT 77	10 SEP 78	7.83	8.36	8.89	9.32		8.08	8.80	.72	.00	.65	.35	3730.9	.0
POI	97	J.70	11 JUL 77	7 ENE 78	7.82	8.37	8.91	9.31	.092	8.07	8.92	.85	.02	.54	.48	3415.4	.2

Las determinaciones del máximo no son demasiado precisas. No obstante, la efeméride continúa siendo válida.

19 SET. 1983

RR LACERTAE

Tomando también la efeméride dada por el GCVS (74) :

$$\text{Max. } 37175.363 + 6.41619 \cdot E$$

y realizando a partir de ella la composición de las observaciones, se han obtenido los resultados que se resumen en la tabla siguiente:

Obs.	nº md.	inst.	PERIODO OBSERVACION		SECUENCIAS PERSONALES					MAGNITUDES			FASES			MAX.MED.	
			COMIENZO	FIN	A	B	C	D	gr.	MAX	MIN	A	MAX	MIN	M-m	2440000+	D-C(d)
DCH	86		8 JUL 82	28 SEP 82	7.84	8.33	8.90	9.32	.268	8.49	9.24	.75	.00	.70	.30	5195.60	.00
FLB	44	T.157	4 JUL 78	10 SEP 78	7.80	8.40	8.90	9.30		8.23	8.77	.54	.07	.60	.47	3733.16	.45
POI	98	J.70	27 JUN 77	7 ENE 78	7.82	8.37	8.89	9.32	.097	8.24	9.13	.89	.00	.65	.35	3411.9	.0

El retraso con respecto a la efeméride observado por FLB no es verificado por las otras curvas, muy regulares en el máximo. La efeméride, por lo tanto, continúa siendo válida.

T MONOCEROTIS

Con la base del GCVS (74), se han realizado las composiciones cuyas características se resumen en la tabla siguiente:

Obs.	nº med.	inst.	PERIODO OBSERVACION		SECUENCIAS PERSONALES							MAGNITUDES			FASES			MAX.MED.	
			COMIENZO	FIN	A	B	C	D	E	F	gr.	MAX	MIN	A	MAX	MIN	M-m	2440000+	D-C(d)
ATL	68	J.50	11 ENE 80	27 MAR 81			5.78	6.14	6.70	7.24	.083	5.96	6.87	0.91	.03	.80	.23	4514.34	+0.92
ANN	134	J.30	15 DIC 76	5 MAR 79	4.64	5.19	5.70	6.26	6.75		5.43	6.52	1.09	.99	.70	.29	3243.21	-0.27	
BUZ	57	L.40	31 DIC 77	29 MAR 78			5.66	6.30	6.73	7.16	.107	5.90	6.99	1.09	.01	.60	.41	3568.00	+0.27
BUG	89	J.50	13 DIC 79	7 MAY 80			5.33	5.86	6.17	6.67	.101	5.65	6.92	1.27	.05	.79	.26	4325.65	+1.35
BG	71	J.50	27 NOV 78	29 MAR 79			5.41	5.78	6.17	6.71	.106	5.90	6.91	1.01	.99	.77	.22	3891.70	-0.27
CH	62	J.30	17 DIC 77	22 MAR 79			5.33	5.84	6.22	6.67	.053	5.49	6.49	1.00	.06	.67	.39	3704.45	+1.62
JUR	140	J.80	9 DIC 78	29 MAR 79			5.72	6.19	6.74	7.18		5.72	6.74	1.02	.00	.68	.32	3918.99	0.00
JZY	83	J.50	28 DIC 77	20 ABR 78	4.49	5.40	5.70	6.25	6.70	7.20		5.70	6.74	1.04	.13	.62	.51	3544.22	+3.51
MP	54	J.50	11 DIC 77	25 MAR 78			5.32	5.81	6.21	6.70	.077	5.80	6.65	0.85	.03	.63	.40	3541.5	+0.8
MPN	107	J.30	17 ENE 77	17 ABR 78			5.74	6.18	6.73	7.20	.123	5.92	6.76	0.84	.03	.76	.27	3460.46	+0.81
POI	107	J.50	14 ENE 77	21 ABR 78			5.28	5.83	6.30	6.72	.082	5.83	6.87	1.04	.00	.75	.25	3405.6	0.0
TA	102	J.50	7 FEB 80	24 ABR 82			5.71	6.26	6.66	7.22	.08	5.99	6.94	0.95	.02	.75	.27	4622.07	+0.54

Se observa un ligero retraso con respecto a la efeméride.

Las curvas son, en general, bastante regulares, aunque se aprecia siempre la ruptura de la pendiente en el descenso de brillo, notado en la NC 182.